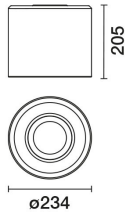


Letzte Aktualisierung der Informationen: Februar 2025

**Produktkonfiguration: QU57**

QU57: Ø 234 mm - Warm White - DALI



**Produktcode**

QU57: Ø 234 mm - Warm White - DALI

**Beschreibung**

Rundleuchte für Deckeninstallation oder freischwebende Installation mithilfe separat zu bestellenden Zubehörs. Leuchte für den Einsatz von LED-Lichtquellen mit CoB-Technologie. Hochglänzender, aluminiumbedampfter Kunststoffreflektor mit kratzfester Schutzschicht. Leuchte mit passiver Wärmeableitung. Die Leuchte ist komplett mit LEDs im Farbton Warm White 3000K bestückt. Lichtausstrahlung UGR<19 L<3000 cd/m² ideal für Flächen mit Bildschirmarbeitsplätzen.

**Installation**

Decken- oder freischwebende Installation mittels separat zu bestellenden Zubehörs.

**Farben**

Weiß/Refll: Alu (39) | Schwarz/Refll: Alu (40)

**Gewicht (Kg)**

1.83

**Montage**

Deckenanbauleuchte

**Verkabelung**

Die Leuchte wird komplett mit DALI-Komponenten ausgeliefert.

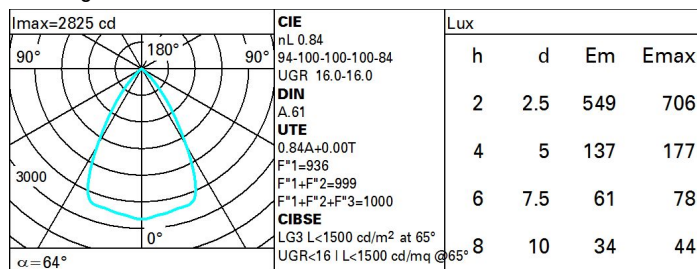
Gemäß der Normen EN60598-1 u. Sondernormen



**Technische Daten**

|   |       |                                 |                                 |
|---|-------|---------------------------------|---------------------------------|
| Im System:  | 2982  | Farbtemperatur [K]:             | 3000                            |
| W System:   | 25.3  | MacAdam Step:                   | 2                               |
| Im Lichtquelle:   | 3550  | Lebensdauer LED 1:              | > 50,000h - L90 - B10 (Ta 25°C) |
| W Lichtquelle:  | 22    | Lampencode:                     | LED                             |
| Lichtausbeute (lm/W, Systemwert):                           | 117.9 | Anzahl Lampen in Leuchtgehäuse: | 1                               |
| Im im Nichtlichtbetrieb:                                    | -     | ZVEI-Code:                      | LED                             |
| abgegebener Lichtstrom bei/ über einem Winkel von 90° [lm]: | 0     | Anzahl Leuchtgehäuse:           | 1                               |
| Leuchtenbetriebswirkungsgrad 84 (L.O.R.) [%]:               |       | Control:                        | DALI-2                          |
| CRI (minimum):  | 80    |                                 |                                 |

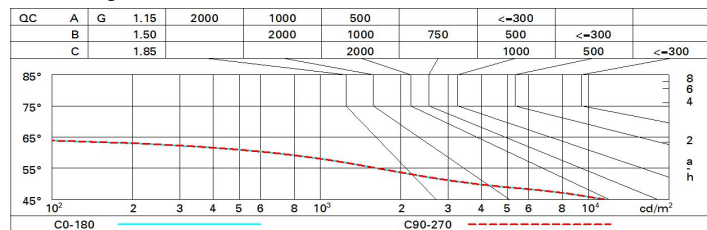
**Polardiagramm**



Wirkungsgrad

| R    | 77 | 75 | 73 | 71 | 55 | 53 | 33 | 00 | DRR |
|------|----|----|----|----|----|----|----|----|-----|
| K0.8 | 73 | 69 | 66 | 63 | 68 | 65 | 65 | 62 | 74  |
| 1.0  | 77 | 73 | 70 | 68 | 72 | 70 | 69 | 66 | 79  |
| 1.5  | 82 | 79 | 76 | 75 | 78 | 76 | 75 | 72 | 86  |
| 2.0  | 85 | 82 | 81 | 79 | 81 | 80 | 79 | 76 | 91  |
| 2.5  | 86 | 85 | 83 | 82 | 83 | 82 | 81 | 79 | 94  |
| 3.0  | 88 | 86 | 85 | 84 | 85 | 84 | 83 | 81 | 96  |
| 4.0  | 89 | 88 | 87 | 86 | 86 | 86 | 84 | 82 | 98  |
| 5.0  | 89 | 89 | 88 | 87 | 87 | 86 | 85 | 83 | 99  |

Söllner-Diagramm



UGR-Diagramm

| Corrected UGR values (at 3550 lm bare lamp luminous flux) |      |                  |      |      |      |      |                |      |      |      |      |
|---|------|------------------|------|------|------|------|----------------|------|------|------|------|
| Reflect.:   |      | viewed crosswise |      |      |      |      | viewed endwise |      |      |      |      |
| ceiling/cav   |      | 0.70             | 0.70 | 0.50 | 0.50 | 0.30 | 0.70           | 0.70 | 0.50 | 0.50 | 0.30 |
| walls   |      | 0.50             | 0.30 | 0.50 | 0.30 | 0.30 | 0.50           | 0.30 | 0.50 | 0.30 | 0.30 |
| work pl.  |      | 0.20             | 0.20 | 0.20 | 0.20 | 0.20 | 0.20           | 0.20 | 0.20 | 0.20 | 0.20 |
| Room dim  |      | viewed crosswise |      |      |      |      | viewed endwise |      |      |      |      |
| x   | y    |                  |      |      |      |      |                |      |      |      |      |
| 2H  | 2H   | 10.0             | 17.3 | 16.9 | 17.5 | 17.8 | 16.6           | 17.3 | 16.9 | 17.5 | 17.8 |
|   | 3H   | 16.4             | 17.1 | 16.8 | 17.3 | 17.6 | 16.4           | 17.1 | 16.8 | 17.3 | 17.6 |
|   | 4H   | 16.4             | 17.0 | 16.7 | 17.2 | 17.5 | 16.4           | 17.0 | 16.7 | 17.2 | 17.6 |
|   | 6H   | 16.3             | 16.8 | 16.6 | 17.1 | 17.5 | 16.3           | 16.8 | 16.6 | 17.1 | 17.5 |
|   | 8H   | 16.2             | 16.8 | 16.6 | 17.1 | 17.4 | 16.3           | 16.8 | 16.6 | 17.1 | 17.4 |
| 12H   | 16.2 | 16.7             | 16.6 | 17.0 | 17.4 | 16.2 | 16.7           | 16.6 | 17.0 | 17.4 |      |
| 4H  | 2H   | 16.4             | 17.0 | 16.7 | 17.2 | 17.6 | 16.4           | 17.0 | 16.7 | 17.2 | 17.5 |
|   | 3H   | 16.2             | 16.7 | 16.6 | 17.0 | 17.4 | 16.2           | 16.7 | 16.6 | 17.0 | 17.4 |
|   | 4H   | 16.1             | 16.6 | 16.5 | 16.9 | 17.3 | 16.1           | 16.6 | 16.5 | 16.9 | 17.3 |
|   | 6H   | 16.0             | 16.4 | 16.5 | 16.8 | 17.2 | 16.0           | 16.4 | 16.5 | 16.8 | 17.2 |
|   | 8H   | 16.0             | 16.3 | 16.4 | 16.8 | 17.2 | 16.0           | 16.3 | 16.4 | 16.8 | 17.2 |
| 12H   | 15.9 | 16.3             | 16.4 | 16.7 | 17.1 | 15.9 | 16.3           | 16.4 | 16.7 | 17.1 |      |
| 8H  | 4H   | 16.0             | 16.3 | 16.4 | 16.8 | 17.2 | 16.0           | 16.3 | 16.4 | 16.8 | 17.2 |
|   | 6H   | 15.9             | 16.2 | 16.4 | 16.6 | 17.1 | 15.9           | 16.2 | 16.4 | 16.6 | 17.1 |
|   | 8H   | 15.8             | 16.1 | 16.3 | 16.6 | 17.1 | 15.8           | 16.1 | 16.3 | 16.6 | 17.1 |
|   | 12H  | 15.8             | 16.0 | 16.3 | 16.5 | 17.0 | 15.8           | 16.0 | 16.3 | 16.5 | 17.0 |
| 12H   | 4H   | 15.9             | 16.3 | 16.4 | 16.7 | 17.1 | 15.9           | 16.3 | 16.4 | 16.7 | 17.1 |
|   | 6H   | 15.8             | 16.1 | 16.3 | 16.6 | 17.1 | 15.8           | 16.1 | 16.3 | 16.6 | 17.1 |
|   | 8H   | 15.8             | 16.0 | 16.3 | 16.5 | 17.0 | 15.8           | 16.0 | 16.3 | 16.5 | 17.0 |
| Variations with the observer position at spacing:         |      |                  |      |      |      |      |                |      |      |      |      |
| S =   | 1.0H | 4.1 / -13.1      |      |      |      |      | 4.1 / -13.1    |      |      |      |      |
|   | 1.5H | 6.8 / -25.9      |      |      |      |      | 6.8 / -25.9    |      |      |      |      |
|   | 2.0H | 8.8 / -37.8      |      |      |      |      | 8.8 / -37.8    |      |      |      |      |